

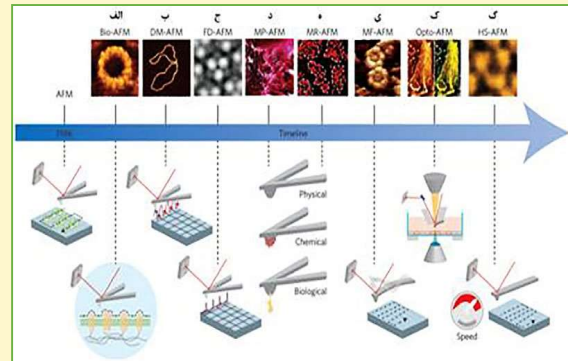
اختراع AFM در سال ۱۹۸۶ نقطه عطفی در تاریخ فناوری نانو است و فرصت‌های مطالعاتی جدیدی را در فیزیک، شیمی، علوم زیستی و پزشکی به وجود آورد. به کمک این میکروسکوپ، سطح با کنترل نیروهای فعلی بین یک پروب نازک و سطح شبیه‌سازی می‌شود. امکان تهیه تصویر در سطح اتمی در طول یک سال از اختراع آن فراهم شد، اما چند سالی طول کشید تا تهیه تصویر از سطوح غیررسانا در خلاء امکان‌پذیر شود. در همان زمان این روش برای کار کردن در یک مقیاس دمایی وسیع و تقریباً در هر محیطی به کار رفت. توانایی بررسی سطح با نسبت سیگنال به نوفه^۱ استثنایی و با توان تفکیک کمتر از نانومتر، باعث پیشرفت روش‌های مرتبط با AFM شد که پروب‌های متفاوتی را برای کنترل برهمنکش مواد، مورد استفاده قرار داد. انعطاف منحصر به فرد AFM برای تهیه تصویر و کنترل مواد، باعث شد تا به پرکاربردترین ابزار در علم فناوری نانو تبدیل شود و باعث به ثمر رسیدن اکتشافات و فناوری‌های فراوان شد. توانایی کار

مقدمه

میکروسکوپ نیروی اتمی^۵ به عنوان ابزاری قدرتمند امکان تهیه تصویر از نمونه‌های زیستی از مولکول‌های منفرد تا سلول‌های زنده را فراهم کرده و کنترل و مطالعه آن‌ها را میسر می‌کند. محققان بلافضله بعد از اختراع AFM دریافتند که برای بیشتر نمودن فرصت‌های تهیه تصویر آن در نمونه‌های زیستی و رفع محدودیت‌های این روش، همگام با فناوری، پیشرفت این میکروسکوپ مورد نیاز است، لذا این مسئله باعث بوجود آمدن حالت‌های جدیدی از تهیه تصویر شد که به پیشبرد توانایی‌های این روش کمک کرد. در اینجا مبانی اولیه، مزایا و محدودیت‌های رایج‌ترین حالت‌های تهیه تصویر در زیست‌شناسی و حالت‌های توسعه یافته جدید مبتنی بر استخراج اطلاعات کمی مانند تهیه تصویر چند عاملی، چند فرکانسی، تشخیص مولکولی و تهیه تصویر با سرعت بالا مورد بررسی قرار داده می‌شود.

چکیده

شکل ۱: خط سیر زمانی از نوآوری‌های کلیدی در AFM. از تولد AFM در ۱۹۸۶ تا آخرین پیشرفت‌های انجام شده در روش‌های تهیه تصویر با کمک AFM در علوم زیستی، نوآوری‌های کلیدی که در طول سالیان ایجاد شده‌اند عبارت است از: الف- سیستم آشکارسازی مبتنی بر انعکاس نور و سالول مایع برای کار کردن در محیط آبی و در حالت کاری تماсی (Bio-AFM)، تصویر بالا: الیگومر کلروپلاست. ب- حالت کاری دینامیکی AFM که با ارتعاش تپیک، نیروهای ناشی از اصطکاک را کاهش داده و توانایی رویش نمونه‌های زیستی را دارد.^۷ تصویر بالا: ج-DNA مبتنی بر منحنی نیرو- فاصله که برای پیکسل به بیکسل تصویر، منحنی مورد نظر اندازه‌گیری شده و اطلاعات کمی از خواص نمونه در اختیار قرار داده می‌شود.^۸ تصویر بالا: پروتئین‌های غشایی. د- AFM چند متغیره که هنگام رویش سطح نمونه، چندین ویژگی فیزیکی یا شیمیایی را نقشه‌برداری می‌کند.^۹ سالول‌های اپیدرم پوست انسان. ه- AFM مجهز به تهیه تصویر تشخیص مولکولی که نقشه‌هایی از برهمنش‌های خاص مولکولی را آشکارسازی می‌کند.^{۱۰} تصویر بالا: سالول مخمر. ی- AFM چند فرکانسی به منظور تهیه نقشه از برهمنش‌های زیستی نمونه براساس مرتعش کردن سوزن در چند فرکانس و نقشه‌برداری از متغیرهای فیزیکی^{۱۱}، تصویر بالا: آنتنی بادی مونوکلونال. ک- AFM جفت شده با سیستم‌های نوری برای تهیه تصویر از سیستم‌های پیچیده زیستی بطور همزمان با میکروسکوپ نوری و AFM (Opto-AFM)، تصویر بالا: فیبروپلاست جنبی موش. گ- AFM با سرعت بالا که زمان تهیه تصویر را ۱۰۰۰ برابر تسریع می‌کند و بدین ترتیب مشاهده فرآیندهای پویای زیستی مقدور می‌شود.^{۱۲} تصویر بالا: پروتئین باکتریوودوپسین. بیشتر این عملکردها مکمل یکدیگر هستند و در نهایت به AFM ترکیبی منجر می‌شوند.^[۱]



مقالات مورثی بسیاری در دو دهه اخیر منتشر شده‌اند که حالت‌های تهیه تصویر خاصی از AFM را برای مشخص کردن خواص سیستم‌های زیستی معرفی می‌کند. در اینجا در نظر داریم تا بررسی اجمالی بر حالت‌های متفاوت تهیه تصویر در زیست‌شناسی سلولی و مولکولی و استخراج اطلاعات کمی را همراه با محدودیت‌های کنونی و فرصت‌های آینده مشخص کنیم. در اینجا سالول به تمامی سالول‌های استخراج شده، غشاهاست سنتری، پروتئین‌های خالص شده و اسیدهای آمینه اطلاق شده‌است.

کردن AFM در دمای محیط و محیط مایع، AFM را به سمت علوم زیستی سوق داد. برای نشان دادن پیچیدگی سیستم‌های زیستی که می‌تواند از نوکلئیک اسیدها تا سالول‌ها و بافت‌ها وسعت یابد، حالت‌های کاری متفاوتی از AFM در طول سالیان به وجود آمده است (شکل ۱). در دهه‌های اخیر پیشرفت‌های مهمی در تهیه تصویر با وضوح بالا به دست آمده است، از جمله میکروسکوپ ابر وضوح^{۱۳} یا میکروسکوپ الکترونی کراپیو^{۱۴} که به شکل جعبه ابزار تهیه تصویر کنونی منجر شده‌است. (جدول ۱)

جدول ۱: مقایسه روش‌های تهیه تصویر با وضوح بالا در زیست‌شناسی سلولی و مولکولی

روش	میکروسکوپ نیروی اتمی (AFM)	میکروسکوپ ابر وضوح (STED ^{۱۵} , PALM ^{۱۶} , STORM ^{۱۷})	میکروسکوپ الکترونی عبوری ^{۱۸}	میکروسکوپ الکترونی روبشی ^{۱۹}
وضوح	$\leq 1\text{nm} - 5\text{ nm}$ *	۲۰ nm-۵۰ nm	۰/۲ nm-۱۰ nm	۲ nm-۱۰ nm
آماده‌سازی نمونه و محیط	قرارگیری نمونه روی تکیه‌گاه، برای نمونه‌های فیزیولوژیکی تحت کنترل (دما، محلول بافر و CO_2)	نشانگذاری فلورسنت، برای نمونه‌های فیزیولوژیکی تحت کنترل (دما، محلول بافر و CO_2)	قرارگیری نمونه روی تکیه‌گاه، برای نمونه‌های فیزیولوژیکی تحت کنترل (دما، محلول بافر و CO_2)	منجمد کردن/خشک کردن نقطه بخاری و پوشش دهی فلزی
اثرات ناخواسته	سوzen، نیرو، فرایند رویش	سفیدشدگی، سمیت	خشک شدن، تشکیل بلور بخ، آسیب پرتو الکترونی	خشک شدن، پوشش فلزی، آسیب پرتو
مزایا	تهیه تصویر در شرایط طبیعی. بدون نیاز به رنگ کردن، نشان دار کردن و ثابت کردن. نسبت سیگنال به نویز بالا. ارزیابی چندگانه متغیرهای فیزیکی، شیمیایی و زیستی	دست‌یابی به ساختار سه بعدی بافت سلولی. وضوح فضایی زمانی بالا. کنترل فرایندهای زیست مولکولی در سالول‌های زنده	دست‌یابی به ساختار سه بعدی پروتئین‌ها، عکس پردازی با وضوح مولکولی از ساختارهای درون سالول	تهیه تصویر از سطوح بافت، سلول و فصل مشترکها با وضوح نانومتری
محدودیت‌ها	بسیار وابسته به سطح نمونه	نشانگذاری فلورسنت	ناتوانی در مطالعه فرایندهای زنده	ناتوانی در مطالعه فرایندهای زنده

* برای پروتئین‌های غشایی توان تفکیک کمتر از یک نانومتر قابل دست‌یابی است؛ این مقدار برای سالول‌های پستانداران تقریباً ۵۰ نانومتر و برای سالول‌های میکروبی ۱۰ نانومتر است [۱].

تفکر مبتنی بر ریسک

غیری می‌دهد در نتیجه اجازه داده می‌شود آن نیز به عنوان عوامل مدار بازخورد برای تهیه تصویر نمونه‌های زیستی شکننده و حساس مورد استفاده قرار گیرند.

استفاده از دا نه به عنوان سیگنال مدار بازخورد از لحاظ فنی ساده‌تر است، زیرا فقط یک حلقه بازخورد نیاز دارد؛ در مقایسه با آن، فرکانس به سه حلقه بازخورد نیاز دارد. بنابراین، AFM مدولاسیون دامنه در حال حاضر بیشتر از AFM مدولاسیون فرکانس استفاده می‌شود. علاوه بر این دو حالت تهیه تصویر شناخته شده AFM، حالت‌های دینامیکی دیگری نیز توسعه پیدا کرده‌اند که سیگنال‌های متفاوتی را به عنوان عوامل بازخورد استفاده می‌کنند و یا اینکه تیرک را در فرکانس‌های متفاوتی به طور همزمان تحریک می‌کنند. همان‌گونه که حالت‌های کاری مختلف دینامیکی، نیروهای اعمال شده بین سوزن و نمونه و اصطکاک را کاهش می‌دهند، می‌توانند برای تهیه تصویر نمونه‌های زیستی که به طور ضعیف، جذب سطحی می‌شوند مانند DNA، پروتئین‌های منفرد یا فیلامنت‌ها نیز به کار روند. به هر حال، کنتراست توپوگرافی نمایانگر برهم‌کنش‌های پیچیده بین سوزن AFM و نمونه است به طوری که سختی، زبری، بار سطحی، شیمی سطح و اصطکاک می‌تواند باعث تغییر نوسان سوزن شده و منجر به تغییر یا بر عکس شدن کنتراست شود. لذا به منظور ثبت تصاویر دارای صحت ووضوح بالا، تهیه تصویر سیستم‌های زیستی ناشناخته در کنار نمونه‌های کاملاً شناخته شده، می‌تواند راهکار مناسبی باشد [۴].

در سیستم‌های زیستی، حالت‌های کاری دینامیکی و تماسی AFM، تصاویر توپوگرافی با توان تفکیک پایین‌تر از محدوده توان تفکیک میکروسکوپ‌های نوری ارائه می‌دهند. سادگی استفاده و نسبت سیگنال به نوافه بالای AFM باعث پیدایش این امید شد که AFM باعث انقلابی در تهیه تصویر سلول می‌شود. اما تنها قسمتی از این رویا به تحقق پیوسته است. به عنوان مثال، وضوح تصاویر سطح سلول حیوانی به علت سطح نرم و چین‌دار آن در محدوده $100\text{--}50\text{ nm}$ باقی ماند [۵]. بر عکس سلول‌های حیوانی، سطوح میکروب‌ها که به طور مکانیکی سخت‌تر و معمولًا صاف‌تر هستند با وضوح 10 nm تهیه تصویر شد [۶]، با این حال پلی‌ساقاریدهای غشای پلاسمای باعث آلودگی سوزن شده و تغییر در کنتراست تصویر را به همراه دارد. یک روبکرد فوق العاده در تهیه تصویر سلول‌های زنده و جلوگیری از آلودگی سوزن، یکی از مشترکات AFM، میکروسکوپ هدایت یونی روبیشی است که از نانوپیپتها برای اندازه‌گیری جریان یونی نمونه استفاده می‌شود. بنابراین، جریان یونی برای کنترل موقعیت عمودی نانوپیپ و در نتیجه شبیه‌سازی توپوگرافی نمونه استفاده می‌شود. در صورت کنترل صحیح، این عامل بازخورد می‌تواند به منظور اجتناب از تماس فیزیکی بین پیپ و سلول تنظیم شود. در نتیجه، SICM می‌توان تم‌های سلولی زنده را که شامل سلول‌های مو یا نرون پوکامپ هستند را با وضوح بالا ($\sim 50\text{ nm}$) شبیه‌سازی کند [۷]. با این حال، به منظور به کارگیری وسیع‌تر SICM نیاز است تا محدودیت‌هایی مانند سرعت پردازش پایین

کلید راه‌گشایی که به کاربرد AFM در سیستم‌های زیستی انجامید، پیشرفت یک سیستم آشکارسازی نوری بود که با طراحی یک سل مایع ادامه پیدا کرد و امکان تهیه تصویر در حلال بافر را فراهم آورد؛ بنابراین، حالت تماسی AFM حالت تماسی مطالعه حفظ کرد. اولین حالت تهیه تصویر AFM حالت تماسی است که در آن سوزن روی سطح نمونه قرار گرفته و آن را روش کند، بطوری که ارتفاع قله‌ها و عمق دره‌ها را پیکسل به پیکسل تنظیم می‌کند و نیروی اعمال شده بین سوزن و نمونه ثابت باقی می‌ماند [۲] (شکل (۲-الف) چپ). تصویر نهایی ارتفاع همان توپوگرافی سطح نمونه است و وضوح تصویر به شاعع نوک سوزن، پستی و های سطح نمونه، خواص فیزیکی نمونه و چگونگی کارکرد سیستم بازخورد در مقابل نوچه با نمونه زیستی نرم وابسته است. بلاعده بعد از معرفی اولین AFM تجارتی قابل دسترس، تهیه تصویر از انواع نمونه‌های زیستی شامل سلول‌های حیوانی، غشاء سلولی و پروتئین‌های غشایی، DNA، RNA و لا ی‌های لیپیدی ایجاد شد. برای سطح نرم و صاف مانند پروتئین‌هایی که از غشاء $1\text{--}10\text{ nm}$ خارج می‌شوند، حالت تماسی AFM می‌تواند توپوگرافی آنها را با وضوح جانبی و عمودی $<1\text{ nm}$ و $>10\text{ nm}$ فراهم کند (شکل (۲-ب)). قدرت تفکیک و نسبت سیگنال به نوافه بالای AFM، امکان آشکارشدن حالت ای هندسی مرتبط با عملکرد مختلف پروتئین‌های محلول در آب و غشاء را فراهم می‌کند. با به کار بردن AFM در حالت تماسی می‌توان مورفولوژی دینامیکی سلول‌ها، رشد پاتولوژیکی فیبری های آمبیلوئیدی، تخریب آنزیمی DNA و غشاهای لیپیدی را نمایان کرده و حقایقی از چگونگی کارکرد حفره ای خارجی غشای باکتری‌ها، اتصالات بین سلولی حیوانی و پیچیدگی‌های حفره‌های هسته را آشکارسازی کند. از دیگر مثال‌های مهیج، بررسی ورود سموم پاتولوژیک به غشاء و یا طراحی ابرمولکول‌های غشاهای فتوسترنکننده و تغییرات آنها به نور است. با این حال، گرچه حالت کاری تماسی AFM به طور وسیعی برای شناسایی سطوح جامد مورد استفاده قرار می‌گیرد، کاربرد آن در سیستم‌های زیستی نرم، نیاز به تخصص بالا برای تنظیم نیروی اعمال شده بین نوک سوزن و نمونه دارد. به عنوان یک قاعده کلی، از نیروهای بیشتر از 100 pN باید اجتناب شود. زیرا ممکن است سطح نمونه دچار تغییرات غیرقابل برگشت شود. به همین علت تهیه تصویر در حالت کاری دینامیکی (که در ابتدا الت ضربه‌زنی با نوسانی نامیده می‌شد) به منظور به حداقل رسانی اصطکاک و نیروهای بکار رفته بین سوزن و نمونه اختراع شد [۳] (شکل (۲-الف) راست). در ساده‌ترین کاربرد، تیرک در فرکانس رزونانس خود مرتعش شده و در همان حالت سطح نمونه را روش می‌کند. به طور ایده‌آل، سوزن تنها در پایین‌ترین حالت حرکت خود سطح نمونه را لمس می‌کند، بنابراین به طور قابل ملاحظه‌ای اصطکاک را به حداقل می‌رساند. لذا در نزدیکی سطح نمونه، اثر متقابل بین سوزن و نمونه، دامنه و فرکانس رزونانس تیرک را

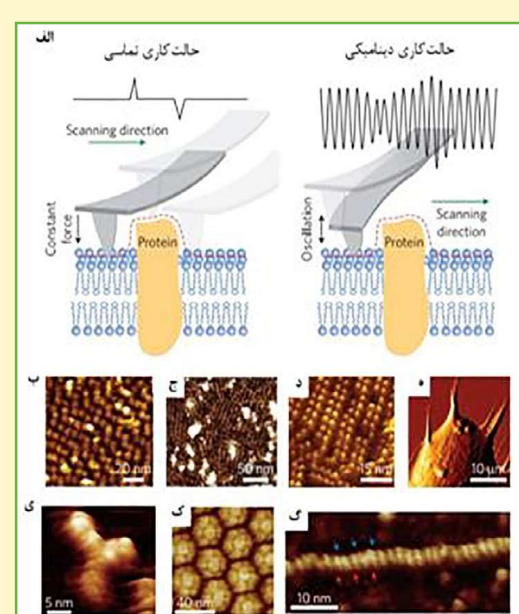
از منحنی نیرو - فاصله^{۳۳} تا تهیه تصویر چند متغیره

سوالی که پیش آمد این بود که آیا AFM قادر به استخراج اطلاعاتی فراتر از تهیه تصویر هست یا خیر؟ پاسخ این سوال به توانایی AFM در شناسایی خواص بیوفیزیکی مواد اشاره دارد. در ابتدا، چنین مشخصه‌هایی با نزدیک کردن سوزن AFM به نمونه ای زیستی (منحنی رفت) و برگرداندن آن به حالت اولیه (منحنی برگشت) و ثبت منحنی‌های نیرو - فاصله اندازه‌گیری شد. منحنی رفت، اطلاعات کمی از ارتفاع، نیروهای سطح، نیروهای تغییر شکل مکانیکی نمونه یا مازوئل ای کشسانی و اتفاق ارزشی را در اختیار قرار می‌دهد. منحنی برگشت امکان اندازه‌گیری نیروهای چسبندگی را فراهم می‌نماید (شکل (۳-الف)). برای استخراج اطلاعات صحیح و قابل اعتماد، کنترل دقیق برهم‌کنش‌های بین سوزن و نمونه، همراه با آگاهی از هندسه صحیح سوزن و شیمی سطح نمونه، نیاز اساسی است. امروزه تیرک‌های تجاری در دسترس هستند که در اشكال، شعاع نوک سوزن و مشخصه‌های فیزیکی و شیمیابی دلخواه تعریف شده‌اند. همان‌طور که در ادامه به طور مفصل تشریح می‌شود، حالت‌های تهیه تصویر مختلفی برای استخراج اطلاعات از خواص نمونه در هنگام تهیه تصویر از آن توسعه یافته‌اند. رویکردی رایج و متنوع در این میان، حالت تهیه تصویر مبتنی بر منحنی FD است که سوزن AFM منحنی رفت و برگشت را برای هر پیکسل از تهیه تصویر اندازه‌گیری می‌کند (شکل (۳-ب)).

های مدرن قادر به اندازه روی چند صد هزار منحنی FD در هنگام تهیه تصویر نمونه زیستی هستند، همان‌طور که هر منحنی FD به طور موضوعی خواص فیزیکی را به صورت کمی اندازه روی می‌کند، این اطلاعات به طور مستقیم و همزمان می‌توانند به توبوگرافی سطح نمونه مرتبط شوند. دستگاه AFM که قادر به اندازه‌گیری منحنی FD در هر پیکسل از تصویر باشد، می‌تواند برای تهیه تصویر سیستم‌های زیستی پیچیده و به طور همزمان ارزیابی کمی و تهیه نقشه از خواص فیزیکی نمونه مانند خواص کشسانی و چسبندگی (شکل‌های (۳-ج) و (۳-ه)) مورد استفاده قرار گیرد. در هر صورت، با وجودی که AFM در مکان‌یابی سوزن در راستای X, Y, Z دارای دقت بسیار بالایی است، غالباً تعیین نقطه تماس بین سوزن و نمونه دچار چالش می‌شود و این وضعیت برای سطوح زیر و نمونه زیستی نرم، دشوارتر نیز می‌شود. لذا آگاهی از موقعیت نقطه تماس برای تفاوت قائل شدن بین نیروهای سطح از نیروهایی که باعث تغییر شکل مکانیکی سلول‌های نرم می‌شود، لازم است. با این حال، برای بیشتر کاربردها، برون‌یابی خطی ناحیه تماس به نیروی صفر دقیق است (شکل (۳-ب)).

در حال حاضر، رایج‌ترین استفاده از AFM مبتنی بر منحنی نیرو یا FD، تهیه نقشه خواص مکانیکی سیستم‌های زیستی است. این مسئله بسیار مهم است، زیرا عملکرد سلول مبتنی بر خواص مکانیکی آن است. از جمله اقدامات اولیه در این راستا تهیه تصویر نقشه از اسکلت سلولی فیبروبلاست‌ها^[۹] پس از تزریق دارو و تهیه نقشه سختی از سلول ای کورتکس در حین تقسیم سلولی است [۱۰] (شکل (۳-د)). نقشه‌برداری از خواص ویسکوالاستیسیته

و اثرات ناشی از بزرگی شعاع پروب SICM با سطوح سلول ای بنی خورده حل شود.



شکل ۲: تهیه تصویر سیستم‌های زیستی طبیعی با وضوح مولکولی.
الف- اصول حالت‌های کاری تماسی (ج) و دینامیکی (راست). در حالت تماسی انحراف تیرک به واسطه تنظیم ارتفاع نسبی بین سوزن و نمونه ثابت نگه داشته می‌شود (نیروی ثابت). تغییر در ارتفاع، باعث تغییر انحنای تیرک می‌شود که به عنوان سیگنال مدار بازخورد فاصله مناسب را معین می‌کند. در حالت دینامیکی، تغییر ارتفاع موجب تغییر در نوسان تیرک می‌شود که دوباره مدار بازخورد با تغییر فاصله از تغییر فرکانس یا دامنه جلوگیری می‌کند. از ب تا ۵- تصاویر AFM در حالت کاری تماسی است که عبارتند از ب- نوک‌تودیهای حلقوی آرایش یافته در کanal پتانسیومی. ج و د- ردیفهای دیمر رودپوسین که به طور فشرده در غشای باخته‌های استوانه‌ای شبکیه چشم وجود دارند. ه- تصویر یک سلول زنده (SAOS-A2) با کشیدن فیبریل‌های کلژن روی زیرلایه. ای تا گ- تصاویر در حالت کاری دینامیکی. ای- پادتن IgG جذب شده روی زیرلایه میکا با تهیه تصویر مدولاسیون فرکانس. ک- یک لایه از ویروس‌های موzaیکی جارو^{۲۲} محبوب شده درون مجتمع بلوری. گ- پلاسمید DNA مدور با تهیه تصویر در محلول بافری با حالت کاری مدولاسیون فرکانس. فلش‌های قرمز و آبی رنگ به ترتیب شیارهای بزرگ و کوچک DNA را نشان می‌دهند [۱۱].

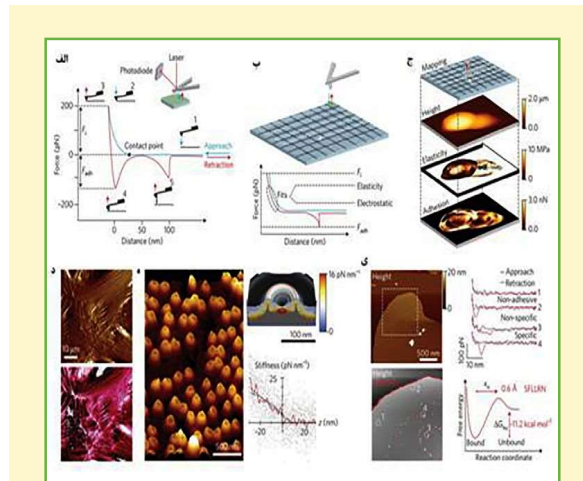
در نهایت می‌توان گفت AFM، نه تنها می‌تواند برای تصویرسازی بلکه برای دستکاری نمونه‌های زیستی نیز مورد استفاده قرار گیرد. نیروی بکار رفته شده بین سوزن AFM و نمونه می‌تواند به سادگی برای دستکاری مکانیکی استفاده شود. همچنین می‌توان سوزن را با گروههای شیمیابی عامل‌دار کرد و برهم نش آن را تنها با نمونه هدف مطالعه نمود. قابلیت کنترل فیزیکی سیستم ای زیستی راه شای پیشرفت سوزن‌های جدید AFM است به طوری که به عنوان نانوبار برای برش، برداشتن و آزاد کردن مولکول‌های زیستی با دقت نانومتری و حتی کنترل تقسیم سلولی حیوانات نیز استفاده شده است [۸].

نمونه، نیروی به کار رفته برای تهیه تصویر، فاصله بین سوزن و نمونه و خواص نمونه زیستی مرتبط است. همچنین حضور زیاد نیروهای بلندبرد باعث کاهش وضوح تصویر می‌شود. زمانی که یک تصویر با اندازه خاص ثبت می‌شود تعداد پیکسل‌های ثبت شده، تعیین کننده وضوح تصویر به صورت تئوری است. گرچه، تعداد پیکسل‌ها و تعداد منحنی‌های FD نیز با عامل زمان محدود می‌شوند. در AFM اولیه مبتنی بر منحنی نیرو، زمان مورد نیاز برای تهیه یک منحنی نیرو در محدوده $5 \times 10^{-10} \text{ N}$ تا 10^{-10} N بوده است، در نتیجه زمان مورد نیاز برای تهیه تصویر مبتنی بر منحنی نیرو با تعداد پیکسل‌های 32×32 بین ۲-۳ ساعت است. این سرعت پایین، استفاده از تصاویر مبتنی بر منحنی نیرو را در زیست‌شناسی محدود کرده بود، اما معرفی عناصر پیزوکلتریک با سرعت پاسخ بالا، حلقه‌های بازخورد مناسب، سیستم‌های جامع جمع‌آوری اطلاعات و تعییر حالت‌های نوسان‌سازی تیرک، تا حد زیادی این مشکل را حل کرد [۱۲]. در نتیجه، در حال حاضر AFM مبتنی بر منحنی نیرو می‌تواند تصویرهای چند عاملی 12×512 پیکسل را از سیستم‌های زیستی با وضوح 1 nm در زمان $15-30$ دقیقه ثبت کند [۱۳]. برای مثال، امروزه این روش می‌تواند برای تهیه تصویر پروتئین‌های غشایی به صورت منفرد و با وضوح 1 nm استفاده شود و به طور همزمان خواص مکانیکی ساختارهای ثانویه آن‌ها را از لیدهای میانی تمیز دهد. خوشبختانه، AFM مبتنی بر منحنی نیرو می‌تواند نقشه نیروهای سطحی و مولکولی مختلف را از مقیاس میکرو تا نانومتر برای سیستم‌های زیستی، پیچیده و غیرهمگن، تهیه کند. حال می‌توان واپسگی زمانی خواص مکانیکی را درک نمود و برای مثال می‌توان قدرت پیوندهای شیمیایی و همچنین پاسخ مکانیکی مواد زیستی مختلف را اندازه‌گیری کرد. گرچه پیشرفت فناوری به طور قابل توجه‌ای زمان به دست آوردن تصویر AFM مبتنی بر منحنی نیرو را کاهش داده است با این حال، چالش مهمی برای تهیه تصویر در فرایندهای پیچیده و چند عاملی به حساب می‌آید.

تهیه تصویر تشخیص مولکولی

بالا فاصله بعد از معرفی تهیه تصویر مبتنی بر منحنی نیرو، ایده تهیه تصویر از خواص زیستی و شیمیایی به وجود آمد. این رویکرد نیازمند ایجاد برهمنکش‌های هدفدار بین سوزن و نمونه است که به کمک سوزن‌های عامل دار شده با گروههای شیمیایی معین یا لیگاند‌های خاص تسهیل شده است. منحنی‌های FD امکان اندازه‌گیری نیروهای چسبندگی و مکانیکی که بین سوزن و نمونه به وجود آمده را فراهم می‌کند. سوزن‌های شیمیایی می‌توانند با عامل دار کردن سوزن‌های پوشش داده شده با طلا با استفاده از تک لایه خودآرای ^{25}Al -آلکاتوتیول با گروههای عاملی انتهایی نیتریلوتری استات 26 که قابل اتصال به مولکول‌های زیستی متصل به هیستیدین 27 هستند، تجهیز شوند [۱۴]. همچنین سوزن‌های سیلیکونی را می‌توان آمینوسیلانیزه کرد و از واکنش با اتصال

سلول‌های سلطانی و بافت سینه نشان داد که آن‌ها در مقایسه با سلول‌های سلطانی و بافت‌های بیمار سینه کمتر قابل تعییر هستند [۱۱]. بررسی‌ها نشان دادند که سیستم ای سلولی بیمار، خواص مکانیکی تعییر یافته قابل ملاحظه‌ای نشان می‌دهند.



شکل ۳: AFM مبتنی بر منحنی نیرو. الف- مبانی ثبت منحنی‌های نیرو - فاصله به واسطه نزدیک شدن (ای رنگ) و دور شدن (قرمز رنگ) سوزن AFM از نمونه. در حالت‌های ۱ تا ۵ بطوری که سوزن ابتدا در محلی دور از نمونه قرار دارد، پس نزدیک سطح نمونه آورده می‌شود و پس از اعمال نیروی معین، از سطح جدا می‌شود. ب- تهیه تصویر مبتنی بر منحنی نیرو - فاصله به صورت پیکسل به پیکسل، منحنی‌های نیرو - روش سطح نمونه ثبت می‌وند نیروی F_{t} کنترل شده و تعییرهای از قبل نیروی چسبندگی سوزن - نمونه (Fadh) (Fadh) یا خواص کشسانی و خواص الکترواستاتیک (با بهینه کردن منحنی) استخراج می‌شوند. متغیرها می‌توانند به صورت یک نقشه رنگی نمایش داده شوند و یا توپوگرافی همبسته شوند. ج- نمونه‌ای از تهیه تصویر AFM چند متغیره مبتنی بر منحنی نیرو از لحظه تقسیم سلول‌های استافیلوكوکوس اورئوس و تصاویر از متغیرهای کشسانی و چسبندگی. د- نقشه ای خطای نیرو (بالا) و کنسانسی (پایین) از کراتینوپیست HaCaT به صورت زنده. ه- توپوگرافی (سمت چپ، رنگ) و نقشه سختی (سمت راست بالا) تصویر منافذ غشا مسته سلول را از سطح سیتوپلاسم نشان می‌دهد. نمودار (سمت چپ پایین) سختی را به عنوان تابعی از فاصله سوزن - نمونه نمایش می‌دهد که تا نزدیکی مرکز حلقه سیتوپلاسی ثبت شده است. نقاط خاکستری نماینده اطلاعات هستند و منحنی قرمز میانگین آنهاست. خط چین‌های آبی و مشکی با در نظر گرفتن سوزن‌های با نوک کروی و مخروطی (به ترتیب) مدل‌سازی شده‌اند. ی- بالا سمت چپ: توپوگرافی از گیریندهای فعل شده با لیگاند SFLRN ثبت در پروتولیپوزون که با سوزن مل دار شده با لیگاند PAR1 شده است. پایین چپ: روی هم قرار دادن تصاویر توپوگرافی (خاکستری) و فعل و اتفاعات چسبندگی (قرمز) که ناشی از اتصال موضعی لیگاند و گیرنده است. دایره‌هایی که از یک تا چهار شماره‌گذاری شده‌اند مناطقی را نشان دهند که در آنها منحنی FD گرفته شده است. بالا راست: منحنی‌های FD چهار نقطه را نشان می‌دهد که چسبندگی نامشخص در مناطق ۱ و ۲، و چسبندگی ویژه در نقاط ۳ و ۴ ناشی از جدایی پیوند لیگاند - گیرنده است. پایین راست: نمای انرژی آزاد از واپسگی لیگاند پیوندی به PAR1. استخراج شده از اندازه‌گیری میزان گستینگی نیروی لیگاند - گیرنده در بارگذاری‌های متفاوت. فاصله بین انتقال از حالت پیوندی به غیرپیوندی است و ΔG_{bu} مقدار انرژی آزاد پیوند است [۱۱].

وضوح جانبی و وضوح زمانی، دو مبحثی هستند که در AFM مبتنی بر منحنی نیرو به هم وابسته هستند. در AFM‌های مدرن، وضوح جانبی به شعاع نوک سوزن، جابجایی حرکت سوزن یا

با دامنه ارتعاش بسیار کوچک ($10\text{--}5 \text{ nm}$) برای روش سطح نمونه و تشخیص پیوندهای خاص از طریق تغییر در دامنه است. در این روش^{۳۳}، تصاویر توپوگرافی و تشخیصی با سرعتی مشابه حالت کاری تماسی AFM تشکیل می‌شوند [۲۱]. این روش برای تهیه نقشه محل اتصال کاده‌رین‌ها در لایه درون رگی استفاده شده است. با این وجود، بهدلیل اینکه منحنی‌های FD ثبت می‌شوند، استخراج اطلاعات کمی با نقص همراه است.

تهیه تصویر چند فرکانسی

در کنار تهیه تصویر توپوگرافی، AFM می‌تواند نقشه‌های از مشخصه‌ای مکانیکی و عملکردی نمونه‌های زیستی را تهیه کند. با وجودی که، بکارگیری حالت‌هایی مانند AFM مبتنی بر منحنی نیرو نیز به طور قابل توجه‌ای زمان کسب اطلاعات را افزایش می‌دهد، حالتی پیشرفت‌هه دینامیکی AFM، شامل مدولاسیون فرکانسی یا دامنه یا حالت چند فرکانسی، سرعت بالاتری را ارائه می‌دهد. اخیراً الت‌های چند فرکانسی پیشرفت‌هه امکان مطالعه بسیار جالی از سیستم‌های زیستی را فراهم می‌کنند. AFM چند فرکانسی شامل تهییج همزمان و یا آشکارسازی چندین فرکانس در ارتعاش تیرک است. این فرکانس‌ها معمولاً چندین هارمونی از فرکانس اصلی یا فرکانس رزونانس ذاتی تیرک را شامل می‌شوند [۲۲]. چندین رویکرد برای استفاده از AFM چند فرکانسی وجود دارد، با این حال میان فیزیکی آنها پیچیده است و اغلب توصیف تئوری آن‌ها در حال توسعه است. یک نکته مهم، توسعه اصطلاحات آنالیزی است که عواملی مانند دامنه، فاز، جابجاگری فرکانس و غیره را به مشخصه‌ای ماده مانند توپوگرافی، انعطاف‌پذیری، چسبندگی، سختی، الکترواستاتیک و یا مغناطیسی مرتبط می‌کند. چگونگی عملکرد این روش، براساس تهییج دو فرکانس در تیرک AFM است (شکل‌های ۴-الف) و (۴-ب)).

AFM دو حالت^{۳۴} برای ثبت توپوگرافی و نقشه انعطاف‌پذیری آنتی‌بادی‌های تکی IgM (نوعی از ایمونوگلوبولین) با وضوح فضایی ۲ نانومتر مورد استفاده قرار گرفته است و نشان داده شده که بالاترین قسمت پروتئین دارای مدول یانگ ۱۸ مگاپاسکال است، در حالی که قسمتی متصل به آنتی‌زن بسیار نرمتر (۸ Pa) است [۲۲].

دو حالت همچنین برای تهیه تصویر فریتین^{۳۵} به کمک نیروهای مکانیکی کوتاه‌برد ($\sim 0.5 \text{ nm}$) و همچنین نیروهای مغناطیسی بلند‌برد ($\sim 1000\text{--}5 \text{ nm}$) به طور جداگانه استفاده شده است. جداسازی نیروهای مکانیکی از مغناطیسی در فریتین امکان‌پذیر است، زیرا اولین فرکانس به نیروهای کوتاه‌برد و دومین فرکانس به نیروهای بلند‌برد حساس است [۲۳] (شکل ۴-ج). تهیه تصویر از لایه‌های آبی احاطه‌کننده شپرون در نیروهای 20 pN ، پتانسیل AFM دو حالت را برای درک نوبنی از خواص نمونه نشان می‌دهد [۲۴] (شکل ۴-د). در تکمیل این کاربردها، همچنین برای تهیه تصویر لایه‌های آبدار در فصل مشترک آب - چربی غشاها لیپیدی بکار رفته است.

دهنده‌های پلی‌اتیلن گلیکول که گروههای بنزاڈئید دارند، به پیتیدها یا پروتئین‌ها از طریق لیزین^{۳۶} متصل نمود [۱۵]. با پرورهای عامل‌دار شده، AFM مبتنی بر منحنی نیرو می‌تواند برهم‌کنش‌های خاص را آشکارسازی کرده و موقعیت آن در سیستم‌های زیستی از آنتی‌بادی تا سلول‌های زنده انسانی را مشخص کند.

AFM مبتنی بر منحنی نیرو برای تهیه نقشه محل پذیرنده^{۳۹} در سلول‌های حیوانی مفید هستند [۱۶]. امروزه نقشه گیرنده‌های سلول‌های حیوانی شامل گیرنده‌های ویترونکتین^{۳۰} در استئوبلاست، گیرنده‌های پروستاگلاندین^{۳۱} در سلول‌های تخمدان همسرت چینی و پروتئین‌های گلیکوزیل فسفاتیدیل اینوزیتول^{۳۲} در اعضای عصبی تهیه شده‌اند. در مثالی دیگر، تصویر پیوندهای تکی میان گیرنده و پذیرنده در گیرنده‌های جفت شده با پروتئین G انسان در غشاء بیهوده اندازه‌گیری شده‌اند. با حرکت دادن سوزن AFM به صورت غیرخطی، نیروهای غیرپیوندی گانده‌ها می‌توانند در محدوده وسیعی اندازه بیرون شوند که باعث ایجاد نقشه انرژی آزاد پیوند لیگاند - گیرنده می‌شود (شکل ۴-۳). با به کار بردن این فناوری در باکتری‌ها و مخمرها، می‌توان اجزای اصلی دیواره سلولی شامل پیتیدوگلیکان‌ها [۱۷]، تیکوئیک اسید [۱۸] و پروتئین‌های چسبنده سطح [۱۹] را آشکارسازی نمود. این مطالعات، توزیع ناهمگن مولکول‌های سطح میکروب که به وضعیت سلول وابسته است را آشکار کرد. تاکنون AFM با سوزن عامل‌دار شده برای نوعی از مولکول‌های زیستی استفاده شده است، اما در رویکردهای اخیر، امکان استفاده از سوزن‌های با دو لیگاند متفاوت برای نقشه‌برداری دو سایت ترکیبی از گیرنده‌های جفت شده با پروتئین G انسان انجام شده است [۲۰]. چنین کاربردهایی درها را بسوی تهیه تصویر تشخیصی چند منظوره مبتنی بر AFM باز می‌کند.

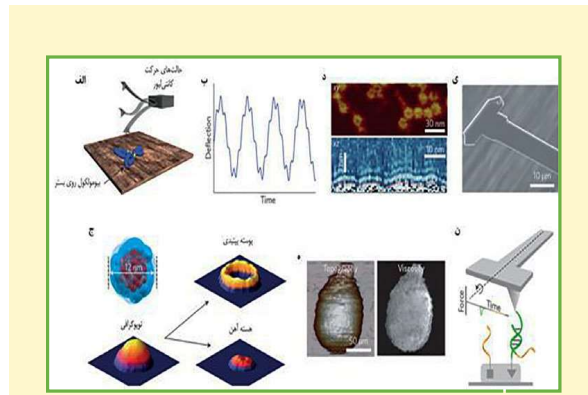
یک مسئله مهم هنگام آنالیز نیروهای چسبنده آشکار شده با AFM مبتنی بر منحنی نیرو، اثبات مختص بودن آن‌ها و تفکیک آن‌ها از نیروهای دیگر است. کنترل‌ها شامل مسدود کردن برهم‌کنش‌های مخصوص با آنتی‌بادی‌ها یا ترکیب‌های شیمیایی و یا استفاده از سلول‌های جهش یافته دارای کمبود سایت ای تشخیصی مخصوص است. برای مقایسه مستقیم، می‌توان نمونه‌های نشان‌دار شده فلورسنت را با سلول‌های جهش یافته به صورت مشترک کشت داد و تصویر آنها را با میکروسکوپ فلورسنت و به طور همزمان به کمک سوزن‌های عامل‌دار شده یه کرد. مسئله آلوده شدن سوزن مورد دیگری است که باید توجه لازم به آن صورت گیرد. در مواجه با سلول‌های زنده، مولکول‌هایی که با پیوندهای ضعیف جذب سطحی می‌شوند اندازه‌گیری برهم‌کنش‌های غلط سوزن و نمونه می‌شود. بنابراین، قبل از جذب شدن این مولکول‌ها به سوزن عامل‌دار، تهیه تصویر از نمونه با سوزن خام می‌تواند مفید باشد. همچنین نیروهای AFM در گیر باید کمتر از 100 pN باشد. روشی جایگزین برای AFM مبتنی بر منحنی نیرو، استفاده از سوزن امل دار شده مرتعش

پیکسل می‌تواند توپوگرافی و نقشه ساختارهای زیرین سطح را فراهم کند [۲۷]. این روش امکان تهیه تصویر زیر سطح پنهان شده یا دفعه شده سلول‌های حیوانات و گیاهان را فراهم می‌کند. گرچه در حال حاضر تهیه تصویر زیرسطحی نیاز به استفاده از نیروهای نسبتاً بزرگ (۱۰۰ nm) را دارد، این سوال را ایجاد می‌کند که تا چه حد ساختارهای تهیه تصویر شده بیانگر سلول‌های دست نخوردده اصلی هستند. علاوه بر استفاده از امواج فرماحت برای تولید تصاویر از ساختارهای زیر سطح، چالش‌های تفسیری و محدودیت‌های واضح فضایی را باقی می‌گذارد. بنابراین، قبل از حالت تهیه تصویر AFM و استفاده آن برای طیف مخاطبان برای مسائل مهم زیستی، نیاز به پیشرفت‌های دستگاهی و تغوری است.

تهیه تصویر با سرعت بالا در فرایندهای زیستی

در مقایسه با میکروسکوپ فلورسنت، تهیه تصویر AFM کند محسوب می‌شود. در سال‌های اخیر، پیشرفت‌های وسیع فناوری امکان افزایش سرعت تهیه تصویر را فراهم آورده و جایی برای مطالعه فرایندهای مولکولی دینامیکی به وسیله AFM با سرعت بالا یا HS-AFM^{۳۷} باز کرده است (شکل ۵).

در بین اجزای AFM، تیرک به دلیل حرکت مکانیکی دارای سرعت حرکت آن تری نسبت به دیگر اعضاء است. بنابراین، برای رسیدن به سرعت بالا با استفاده از مدولاسیون دامنه، زمان پاسخگویی تیرک که برابر است با $\tau = \frac{Q}{\pi f_0}$ (که در آن: Q عامل کیفیت و f_0 اولین فرکانس رزونانس تیرک در آب است (شکل ۵-ب)). برای افزایش f_0 در حین محفوظ داشتن ثابت k به مقدار کوچک، تیرک‌های کوچک (۹-۱۴) میکرون طول، ۲-۵ میکرون عرض و ۱۰۰-۱۴۰ nm ضخامت توسعه یافته‌ند به طوری که $f_0 = 150 - 100 \text{ kHz}$ و $k = 0.1 - 0.3 \text{ N/m}$ می‌شود. از آنجا که مقدار Q این تیرک‌ها مقدار ۲-۶ در آب است، زمان پاسخگویی آنها $1\text{-}6 \mu\text{s}$ (بین ۴۰-۲۴۰ برابر) کوتاه‌تر از تیرک‌های معمول در رگرفته می‌شود. در حال حاضر تیرک‌های کوچک دارای ۴۰۰-۴۰۰ kHz و $f_0 = 800 - 1000 \text{ Hz}$ به طور تجارتی در دسترس هستند. برای حصول HS-AFM محدود کردن ارتعاش مکانیکی روبشگر در راستای Z که در فرکانس خیلی بالاتری از راستای X و Y حرکت می‌کند بسیار مهم است (شکل ۵-ج). برای این منظور، ۳ رویکرد در نظر گرفته شده‌است: متعادل کردن سیگنال‌های تولید شده با جابجاگر روبشگر در راستای Z، طراحی روبشگر سخت و قدرتمند و تعدیل دائم ارتعاش مبتنی بر روش کنترل Q (شکل ۵-د). آخرین بخش ذکر شده می‌تواند به طور دینامیکی بهره مدار بازخورد را در طول تهیه تصویر بهمنظور به حداقل رساندن نیروی سوزن - نمونه تنظیم کند (شکل ۵-۳۷). در اوایل ظهور GroEL-GroES [۲۸] و میوزین V [۱۲]، سیستم‌های شپرون، DNA، میکروسکوپی التراسونیک و HS-AFM [۳۷] برای نمایش این تغییرات به صورت پیکسل به



شکل ۴: AFM چند فرکانسی. الف-نمایی از انحراف تیرک در AFM دو حالت. ب-ارتعاش تیرک در طول زمان. ج-جداسازی نیروهای مکانیکی کوتاهبرد و اثرات متقابل بلندبرد مغناطیسی در فریتین با ترکیب دو سیگنال هسته آهن و پوسته پیتیدی. د-تصویر بالا: توپوگرافی پروتئین شپرون^{۳۷} در صفحه XY و تصویر پایین: پروفایل عمودی (صفحة XZ)، از خط قرمز داخل توپوگرافی از لایه‌های آبی احاطه‌کننده چهار پروتئین شپرون. ه-تصویر توپوگرافی و پیکروسکوپی الکترونی از یک پاکتیوفاژ بالغ با نیروی ۱۰۰ pN. ی-تصویر میکروسکوپی طراحی شده است. ن-طرح هارمونیک‌های پیچشی چند فرکانسی برای بررسی گروه‌های شیمیایی یک پروتئین با استفاده از برچسب‌های DNA. نشان داده شده است. یک رشته DNA که به نوک متصل است با رشته‌های DNA هدف مکمل است. رشته‌های مکمل رنگ‌های یکسان دارند [۱].

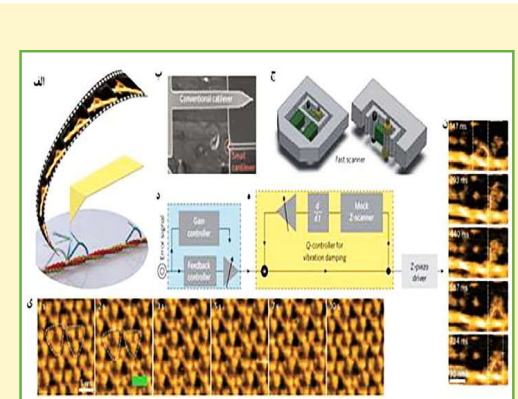
در AFM چند هارمونی، تیرک با یک فرکانس تحریک می‌شود، در حالی که چندین هارمونی شاری یا پیچشی را ثبت می‌کند. در ابتدا، این حالت تهیه تصویر AFM برای اندازه‌گیری توپوگرافی و خواص ویسکوا یک نمونه‌های زیستی بزرگ شامل ویروس‌ها و سلول‌ها به کار گرفته شدند [۲۵] (شکل ۴-۴). هارمونی‌های پیچشی امکان ثبت توپوگرافی نمونه و نیروهای متغیر با زمان نمونه را با تصحیح هارمونی‌های بالاتر از حرکت پیچشی فراهم می‌کند. کمیت این نیروها، خواص مکانیکی نمونه شامل مدول یانگ یا چسبندگی را مشخص می‌کند. همچنین هارمونی‌های پیچشی، واکنش‌هایی در حد میکروثانیه را با اندازه‌گیری نیروهای بین گروه‌های شیمیایی یا پروتئین‌ها آشکار می‌کند [۲۶] (شکل‌های ۴-۴ و ۴-ن)، با این حال AFM چند هارمونی، نیاز به استفاده از تیرک T شکل دارد که تاکنون تجاری‌سازی نشده است. این مورد، همراه با نیاز استفاده از الگوریتم‌های پیچیده برای آنالیز هارمونی و اطلاعات آن، در حال حاضر باعث محدود شدن استفاده از این روش شده است. دسترسی به ساختار زیر سطحی سیستم‌های پیچیده زیستی چالشی بلند مدت برای AFM بوده است. اخیراً میکروسکوپی التراسونیک و AFM دینامیکی برای تحریک و تهییج مکانیکی نمونه و تیرک ترکیب شده‌اند که موج‌های مکانیکی تولید شده با امواج فرماحت در سطح نمونه توزیع می‌شود و بهم‌کنش‌های مکانیکی امواج داخل نمونه باعث تغییر دامنه و فاز می‌شود؛ بنابراین، استفاده از سوزن AFM برای نمایش این تغییرات به صورت پیکسل به

نمونه میکروسکوپ متکی بوده است که باعث ترکیب دشوار آن با میکروسکوپ‌های نوری شده است. امروزه HS-AFM پیشرفت فراوانی کرده است بطوری که امکان مطالعه سلول‌های زنده کشت شده درون پتری دیش، پروتئین‌های معلق درون غشاء و حتی اندازه‌گیری پاسخ پروتئین‌ها به نیروهای خارجی اند پنس‌های نوری امکان‌پذیر شده است. کاربردهای سلولی این روش، بیشتر نیازمند ترکیب روش AFM و روش ای پیشرفت نوری است. همچنین امکان انتقال این فناوری به SICM (HS-SICM) برای مطالعه دینامیک سلول‌های زنده و ارگان‌ای بین‌سلولی امکان‌پذیر است.

تهیه تصاویر همبسته

سلول‌های زنده پیچیدگی ساختاری و عملکردی بسیار بالایی دارند. سطوح سلولی شامل هزاران ماکرومولکول متفاوت است که باعث ایجاد ناهمگنی و دینامیک پیچیده در سطح سلول می‌شود. بنابراین، حتی شناسایی ساختارهای ساده سطح سلول مانند گیرنده‌ها، کانال‌ها، انتقال‌دهندها و غیره با توپوگرافی ثبت شده به کمک AFM دشوار است. در چنین مواردی ترکیب کامل روش‌های میکروسکوپی با AFM می‌توانند ساختارهای سلولی پیچیده را شناسایی کنند. این روش کمل شامل میکروسکوپی نوری، میکروسکوپی فلورستن، میکروسکوپی هم‌کانون یا کنفوکال^{۳۹}، انتقال انرژی رزونانس فورستر^{۴۰}، انعکاس کامل فلورستن درونی و میکروسکوپی توان تفکیک بالا هستند. در بیشتر موارد AFM به جای یکی از لنزهای چشمی میکروسکوپ نوری سوار می‌شود. محفظه‌هایی وجود دارند که سیستم‌های سلولی را در حالت طبیعی خود می‌توانند نگهداری کنند (شکل ۶-الف). امروزه تلفیق چند میکروسکوپی امکان مشخص کردن محدوده وسیعی از سیستم‌های زیستی از غشاء و سلول تا بافت را فراهم می‌سازد. یک تلفیق رایج AFM، همراه کردن آن با میکروسکوپ فلورستن یا کنفوکال است. کاربرد این روش‌ها، استفاده در بررسی سلول‌های منفرد حیوانی تا بافت آنها و سلول‌های میکروبی است. در چنین مطالعاتی ساختارهای مورد نظر به شکل فلورستن نشان‌گذاری می‌شوند و به صورت اپتیکی (باوضوح میکرومتری) تهیه تصویر شده و سپس توپوگرافی‌های AFM با دقت نانومتر ایجاد می‌شود. با استفاده از این رویکرد، اجتماعات درشت مولکول‌های سطح سلول شناسایی شده و باعث درک عملکرد آن‌ها می‌شود. برای مثال، مراحل مختلف تعامل بین پاتوژن‌های قارچی و ماکروفائزها بررسی شد که شامل تماس اولیه سلولی، وارد شدن سلول‌های قارچ، سوراخ کردن عضو و گریز از ماکروفائزها بود. در حالی که تهیه تصویر فلورستن باعث تمیز سلول‌های قارچی از ماکروفائزها می‌شود، AFM نانوساختارهای مرتبط در هر دو سلول را نمایان می‌کند (شکل ۶-ب) و (۶-ج) [۳۴]. همچنین AFM برای تهیه تصویر ساختار سطح سلول شامل میکروویلی^{۴۱}، لبه‌های اکتین و حوزه‌های نانویی غشای سلولی و شناسایی مشخصه‌های مکانیکی - دینامیکی

شدند. اخیراً نیز HS-AFM کاربرد منحصر به فردی در تعیین عملکرد باکتریوودوپسین^{۳۸}، میوزین F1 و ترکیب ATPase-V، F1 حفره‌های هسته ارائه کرده است. تصاویر باکتریوودوپسین که یک پمپ پروتون وابسته به نور (و مدل کامل و مناسبی برای مطالعه پروتئین‌های غشایی است) در شکل (۵-۵) [۳۰] نشان داده شده است که در زمان تابش نور، قسمت‌های مارپیچی E و F از ساختار هر باکتریوودوپسین به اندازه ۰/۷ nm ~ بسته خارج ابجا می‌شوند و ترمیرهای مجاور باکتریوودوپسین با هم تلاقی می‌کنند. میوزین ۷ (که یک موتور مولکولی فعال در انتقالات درون سلولی است) در طی یک فرایند، روی رشته‌های اکتین حرکت می‌کند که با هیدرولیز هر ATP گامی به اندازه ۳۶ nm به جلو رانده می‌شود. نتایج HS-AFM تعامل میوزین و اکتین را به صورت مشاهده مستقیم فراهم کرده است و فرضیه حرکت میوزین بر بازوی اکتین که برای سال‌ها مطرح شده بود را مصور کرد [۳۱] (شکل ۵-ن)).

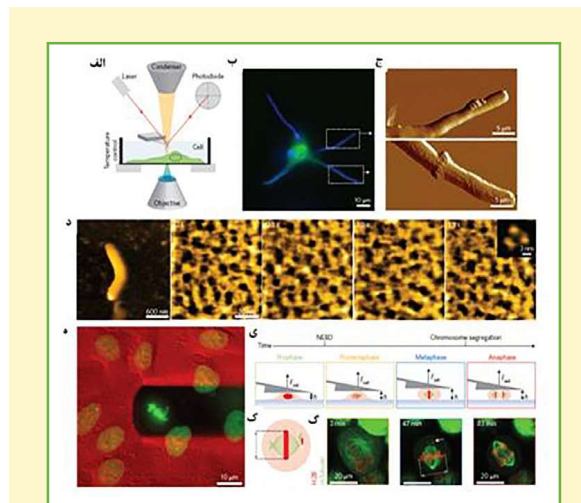


شکل ۵: فرایند فیلمبرداری از پروتئین با HS-AFM. (الف) فیلمبرداری از حرکت میوزین روی رشته‌های اکتین. (ب) کوچک‌باز کنافس رزونانس بالا و ثابت فنر (کم. ج) روپشگر سریع که جابجایی‌های کوچک پیزوکالکتریک را در راستاهای مختلف تأمین می‌کند. (د) - کنترل مدار باز خودر با قابلیت تنظیم بهره برای تهیه تصویر با سرعت بالا. (ه) تغییل کننده ارتعاش بر اساس کنترل Q. (ی) باکتریوودوپسین در غشای اصلی خود در تاریکی و نور با سرعت ۱ فریم در ثانیه. مثلث‌های سفید (سمت چپ) ترمیرهای باکتریوودوپسین و مثلث‌های آبی (سمت راست) مونومرهای باکتریوودوپسین هستند که هر کدام متعلق به ترمیر مجاورش است (منطقه سه‌گانه). نور سبز برای s2 روشن و s3 خاموش شده است. در زمان تابش نور، ترمیرهای باکتریوودوپسین به بیرون کشیده می‌شوند در حالی که مونومرهای در منطقه سه‌گانه با هم تلاقی می‌کنند. (ن) حرکت میوزین ۷ در امتداد یک رشته اکتین، خطوط سفید نشان‌دهنده سرهای میوزین است [۳۱].

در کنار این مطالعات مولکولی، HS-AFM به طور موفقیت‌آمیزی به منظور مشاهده فرایندهای دیگری باکتری‌های زنده [۳۲] و سلول‌های یوکاریوت [۳۳] به کار برده شده است. برای مدت طولانی برای روشن نمونه‌ها روی میز نگهدارنده

یکی از مزایای گسترده استفاده از AFM فراهم آوردن مشخصه‌های چند عملکردی و چند عاملی سیستم‌های زیستی است. این روش‌ها شامل تهیه تصویر با وضوح بالا از ساختارهای زیستی و نقشه هم‌زمان خواص مکانیکی، سینتیکی و ترمودینامیکی گروههای عاملی، سایه‌های پیوندی، انرژی آزاد پیوند لیگاند - گیرنده همچنین تعیین مشخصه‌های الکترواستاتیکی از توزیع بار تا جریان یونی است. در سال‌های اخیر، بسیاری از حالت‌های کاری جدید AFM توسعه یافته است که توانسته در سیستم‌های زیستی مورد استفاده قرار گیرد و اطلاعات مختلف کمی و نقشه‌های ساختاری را از سیستم‌های پیچیده زیستی استخراج کند. در حال حاضر، حساسیت نیرو و پایداری دمایی AFM باعث محدود شدن دقت آن در شناسایی سیستم‌های زیستی شده است؛ بنابراین، اخیراً AFM های فرآپایدار معرفی شده‌اند که دقت نیروی زیر پیکونیون، پایداری موقعیتی بسیار بالا $\text{Å}/0.3 \text{ nm}$ را فرا می‌کنند و می‌توانند مبنای کاربردهای جدید در پدیده‌های زیستی باشند. امروزه بیشتر کاربران Bio-AFM تنها از یک حالت کاری تهیه تصویر AFM برای زمینه تخصصی خود استفاده می‌کنند. با این حال، سیستم‌های زیستی پیچیده هستند و نیاز است تا محدوده وسیعی از اطلاعات جمع‌آوری شود. بنابراین ما انتظار داریم که بسیاری از روش‌های AFM بحث شده در این مقاله بزودی در یک ابزار واحد ترکیب شوند و در نتیجه به صورت یک مجموعه اندازه‌گیری ارائه شوند. چنین دستگاه چند منظوره، چند عاملی، چند فرکانسی همراه با سرعت بالا، منجر به درک کامل‌تری از فرایندهای دینامیکی، ساختاری، مکانیکی، شیمیابی و عملکردی سیستم‌های زیستی پیچیده می‌شود و سوالات مهمی را در زیست‌شناسی در سال‌های آینده پاسخگو خواهد بود.

استفاده می‌شود [۳۵] (شکل ۶-۶)؛ میکروسکوپ نوری بیشتر برای ریخت‌شناسی و حالت سلول به کار می‌رود. در حالی که AFM برای ثبت مشخصه‌های مکانیکی (سختی، کشسانی، فشار)، سلول یا برهم‌کنش‌های مکانیکی آن با محیط (مهاجرت، چسبندگی) به کار می‌رود. چنین آزمایش‌هایی مشاهده انقباض شدید هنگام تقسیم سلولی را امکان‌پذیر کرده است.



شکل ۶. تصاویر AFM از سیستم‌های سلولی. الف- نمای AFM جفت شده با میکروسکوپ نوری برای شناسایی سلول‌های زنده. ب- تصویر فلورسانس از ماکروفاز (سیز) انکوبه شده با کاندیدا الیکننس [۳۶]. ج- تصاویر AFM از قسمت‌های بالایی و پایینی که دارای تفاوت ساختاری عمدی هستند. د- تصاویر توپوگرافی با HS-AFM از باکتری اشرشیاکلی، تصویر اول کل باکتری و تصاویر بعدی غشای خارجی را که ساختار شبکه مانند به خود گرفته‌اند را نشان می‌دهد. تصویر درج شده در آخرین تصویر، پروتئین تربمر پورین است. ه- محفظه مکانیکی و مورفوولوژیکی سلول‌های حیوانی در حال تنسیم میتوز، تمایز کنترast فلورسانس با GFP (HYB) در سلول ای HeLa و تیرک (سایه تاریک) در حال اندازه‌گیری نیرو و فشار تک‌سلول در دوره متفاوت از تقسیم است. ی- تیک گومای برای محدود کردن سلول Hela و کنترل پیشرفت مکانیکی تقسیم میتوز به کار رفته است و مراحل میتوزی به تصویر کشیده شده است. ک- نمای سلول HeLa در حال تقسیم. گ- تصاویر فلورسانس از مراحل مختلف، فلش خاکستری پهنانی صفحه متفاوت را نشان می‌دهد [۱۱].

ترکیب AFM با میکروسکوپ هم‌کانون برای کنترل سلول ای یوکاریوتی که بیان پروتئین GFP-اکتین، توبولین، ویمنتین و لامین را دارند بهمنظر تهیه تصویر از خواص مکانیکی سیتواسکلت و هسته‌ها بکار گرفته شده است [۳۶]. همچنین برای ارزیابی کمی فشار سلولی و تنفس قشری بکار گرفته شده است (شکل‌های ۶-۶) تا (۶-ک). این رویکرد به فهم چگونگی تنظیم و تغییر شکل سلول‌های حیوانی هنگام فرایند میتوز کمک شایانی کرده است. همان‌طور که در بالا توضیح داده شد، تیرک‌ها می‌توانند با مولکول‌های زیستی، گروه‌های شیمیابی و یا حتی سلول‌های زنده عامل‌دار شوند و برهم‌کنش‌های خاص آنها ثبت شود. چنین تهیه تصویری با استفاده از میکروسکوپ اپتیکی می‌تواند تصویری جامع از توزیع گیرنده‌های سطح سلول و ریخت‌شناسی و حالات سلولی را آشکار سازد.

پی‌نوشت

22. Circular plasmid DNA
23. Force distance curve (FD)
24. Force error
25. Self-assemble monolayer
26. Nitrilotriacetate
27. Histidine
28. Lysine
29. Receptor
30. Vitronectin
31. Prostaglandin
32. Glycosylphosphatidylinositol
33. Topography and recognition imaging (TREC)
34. Bimodal AFM
35. Ferritin
36. Chaperone یا شپرون به پروتئین‌هایی گفته می‌شود که کارشان کمک به تاشدگی کوالانسی یا باز شدن ساختارهای ابرمولکولی است.
37. High speed AFM
38. Bacteriorhodopsin
39. Confocal microscopy
40. Förster resonance energy transfer
41. Micrivity
42. Candida albicans
1. کارشناسی ارشد شیمی تجزیه، پژوهشکده بیوتکنولوژی کشاورزی ایران
2. کارشناسی ارشد زمین‌شناسی، پارک علم و فناوری همدان
3. کارشناسی ارشد فیزیک حالت جامد، دانشگاه بیرجند
4. عضو کارگروه تخصصی میکروسکوپ پرتویی روشی، شبکه آزمایشگاهی
5. Atomic Force Microscopy (AFM)
6. Noise
7. Dynamic mode AFM (DM-AFM)
8. Force–distance curve-based AFM (FD-AFM)
9. Multiparametric AFM (MP-AFM)
10. Molecular recognition AFM (MR-AFM)
11. Multifrequency AFM (MF-AFM)
12. High-speed AFM (HS-AFM)
13. Super resolution microscopy
14. Cryo-electron microscopy
15. Stimulated emission depletion
16. Photoactivated localization microscopy
17. Stochastic optical reconstruction microscopy
18. Transmission electron microscopy (TEM)
19. Scanning electron microscopy (SEM)
20. Scanning ion conductance microscopy (SICM)
21. Brome mosaic viruses

مرجع

- [1] Dufrêne Y., Ando T., Garcia R., Alsteens D., Martinez D., Engel A., Gerber C. and J. Müller. D, Imaging modes of atomic force microscopy for application in molecular and cell biology, *NATURE NANOTECHNOLOGY*, 6 (295-307) 2017.
- [2] Schabert, F. A., Henn, C. & Engel, A. Native Escherichia coli OmpF porin surfaces probed by atomic force microscopy. *Science* 268, 92–94 (1995).
- [3] Engel, A. & Muller, D. J. Observing single biomolecules at work with the atomic force microscope. *Nat. Struct. Biol.* 7, 715–718 (2000).
- [4] Garcia, R. & Herruzo, E. T. The emergence of multifrequency force microscopy. *Nat. Nanotech.* 7, 217–226 (2012).
- [5] Muller, D. J. & Dufrene, Y. F. Atomic force microscopy: a nanoscopic window on the cell surface. *Trends Cell Biol.* 21, 461–469 (2011).
- [6] Kasas, S. & Ikai, A. A method for anchoring round shaped cells for atomic force microscope imaging. *Biophys. J.* 68, 1678–1680 (1995).
- [7] Hansma, P. K., Drake, B., Marti, O., Gould, S. A. & Prater, C. B. The scanning ion-conductance microscope. *Science* 243, 641–643 (1989).
- [8] Oesterhelt, F. et al. Unfolding pathways of individual bacteriorhodopsins. *Science* 288, 143–146 (2000).
- [9] Rotsch, C. & Radmacher, M. Drug-induced changes of cytoskeletal structure and mechanics in fibroblasts: an atomic force microscopy study. *Biophys. J.* 78, 520–535 (2000)
- [10] Matzke, R., Jacobson, K. & Radmacher, M. Direct, high-resolution measurement of furrow stiffening during division of adherent cells. *Nat. Cell Biol.* 3, 607–610 (2001)
- [11] Plodinec, M. et al. The nanomechanical signature of breast cancer. *Nat. Nanotech.* 7, 757–765 (2012).



- [12] Viani, M. B. et al. Small cantilevers for force spectroscopy of single molecules. *J. Appl. Phys.* 86, 2258–2262 (1999).
- [13] Dufrene, Y. F., Martinez-Martin, D., Medalsy, I., Alsteens, D. & Muller, D. J. Multiparametric imaging of biological systems by force-distance curve-based AFM. *Nat. Methods* 10, 847–854 (2013).
- [14] Kienberger, F. et al. Recognition force spectroscopy studies of the NTA-His6 bond. *Single Mol.* 1, 59–65 (2000).
- [15] Hinterdorfer, P., Baumgartner, W., Gruber, H. J., Schilcher, K. & Schindler, H. Detection and localization of individual antibody-antigen recognition events by atomic force microscopy. *Proc. Natl Acad. Sci. USA* 93, 3477–3481 (1996).
- [16] Grandbois, M., Dettmann, W., Benoit, M. & Gaub, H. E. Affinity imaging of red blood cells using an atomic force microscope. *J. Histochem. Cytochem.* 48, 719–724 (2000).
- [17] Andre, G. et al. Imaging the nanoscale organization of peptidoglycan in living *Lactococcus lactis* cells. *Nat. Commun.* 1, 27 (2010).
- [18] Andre, G. et al. Fluorescence and atomic force microscopy imaging of wall teichoic acids in *Lactobacillus plantarum*. *ACS Chem. Biol.* 6, 366–376 (2011).
- [19] Alsteens, D., Garcia, M. C., Lipke, P. N. & Dufrene, Y. F. Force-induced formation and propagation of adhesion nanodomains in living fungal cells. *Proc. Natl Acad. Sci. USA* 107, 20744–20749 (2010).
- [20] Pfreundschuh, M. et al. Identifying and quantifying two ligand-binding sites while imaging native human membrane receptors by AFM. *Nat. Commun.* 6, 8857 (2015).
- [21] Raab, A. et al. Antibody recognition imaging by force microscopy. *Nat. Biotechnol.* 17, 901–905 (1999).
- [22] Garcia, R. & Herruzo, E. T. The emergence of multifrequency force microscopy. *Nat. Nanotech.* 7, 217–226 (2012).
- [23] Dietz, C., Herruzo, E. T., Lozano, J. R. & Garcia, R. Nanomechanical coupling enables detection and imaging of 5 nm superparamagnetic particles in liquid. *Nanotechnology* 22, 125708 (2011).
- [24] Herruzo, E. T., Asakawa, H., Fukuma, T. & Garcia, R. Three-dimensional quantitative force maps in liquid with 10 piconewton, angstrom and sub-minute resolutions. *Nanoscale* 5, 2678–2685 (2013).
- [25] Cartagena, A., Hernando-Perez, M., Carrascosa, J. L., de Pablo, P. J. & Raman, A. Mapping in vitro local material properties of intact and disrupted virions at high resolution using multi-harmonic atomic force microscopy. *Nanoscale* 5, 4729–4736 (2013).
- [26] Kim, D. & Sahin, O. Imaging and three-dimensional reconstruction of chemical groups inside a protein complex using atomic force microscopy. *Nat. Nanotech.* 10, 264–269 (2015).
- [27] Shekhawat, G. S. & Dravid, V. P. Nanoscale imaging of buried structures via scanning near-field ultrasound holography. *Science* 310, 89–92 (2005).
- [28] Viani, M. B. et al. Probing protein–protein interactions in real time. *Nat. Struct. Biol.* 7, 644–647 (2000).
- [29] Ando, T. et al. A high-speed atomic force microscope for studying biological macromolecules in action. *ChemPhysChem* 4, 1196–1202 (2003).
- [30] Shibata, M., Yamashita, H., Uchihashi, T., Kandori, H. & Ando, T. High-speed atomic force microscopy shows dynamic molecular processes in photoactivated bacteriorhodopsin. *Nat. Nanotech.* 5, 208–212 (2010).
- [31] Kodera, N., Yamamoto, D., Ishikawa, R. & Ando, T. Video imaging of walking myosin V by high-speed atomic force microscopy. *Nature* 468, 72–76 (2010).
- [32] Fantner, G. E., Barbero, R. J., Gray, D. S. & Belcher, A. M. Kinetics of antimicrobial peptide activity measured on individual bacterial cells using high-speed atomic force microscopy. *Nat. Nanotech.* 5, 280–285 (2010).
- [33] Shibata, M., Uchihashi, T., Ando, T. & Yasuda, R. Long-tip high-speed atomic force microscopy for nanometer-scale imaging in live cells. *Sci. Rep.* 5, 8724 (2015).
- [34] El-Kirat-Chatel, S. & Dufrene, Y. F. Nanoscale imaging of the *Candida*—macrophage interaction using correlated fluorescence-atomic force microscopy. *ACS Nano* 6, 10792–10799 (2012).
- [35] Roduit, C. et al. Elastic membrane heterogeneity of living cells revealed by stiff nanoscale membrane domains. *Biophys. J.* 94, 1521–1532 (2008).
- [36] Pelling, A. E., Veraitch, F. S., Chu, C. P., Mason, C. & Horton, M. A. Mechanical dynamics of single cells during early apoptosis. *Cell Motil. Cytoskel.* 66, 409–422 (2009).
- [37] Ando, T., Uchihashi, T. & Kodera, N. High-speed AFM and applications to biomolecular systems. *Ann. Rev. Biophys.* 42, 393–414 (2013).